

Tổng hợp và đặc tính than hoạt tính từ tro trấu: Ảnh hưởng của tỷ lệ NaOH đến tính chất của than hoạt tính

Huỳnh Thanh Lưu¹, Đào Thị Băng Tâm^{2,3}, Lê Mỹ Tho^{2,3}, Hà Thúc Chí Nhân^{2,3,*}, Đặng Tấn Hiệp^{1,*}, Võ Thúy Vi^{1,*}



Use your smartphone to scan this QR code and download this article

TÓM TẮT

Nghiên cứu này trình bày quá trình tổng hợp và xác định đặc tính của than hoạt tính (AC) có nguồn gốc từ tro trấu (RHA) thông qua phương pháp hoạt hóa hóa học và không cần nung ở nhiệt độ cao. RHA, thu được từ quá trình đốt trấu trong lò hơi công nghiệp, được trích ly silica để tạo thành than sinh học (BC). Sau đó BC được hoạt hóa bằng NaOH với máy siêu âm và sấy chân không để tạo thành than hoạt tính. Ảnh hưởng của tỷ lệ khối lượng của NaOH so với BC ($m_{NaOH}:m_{BC}$) đến các tính chất cụ thể của than hoạt tính được phân tích một cách có hệ thống bằng nhiều phương pháp phân tích khác nhau nhằm đánh giá sự hình thành cấu trúc, hình thái và kích thước lỗ xốp bề mặt và tính chất nhiệt. Kết quả cho thấy than hoạt tính thể hiện cấu trúc vô định hình với bề mặt gồm các hạt kích thước khoảng vài micromet được phân bố một cách ngẫu nhiên. Hơn nữa, than hoạt tính có cấu trúc xốp và rỗng với kích thước lỗ rỗng khác nhau. Đáng chú ý, diện tích bề mặt tối đa của than hoạt tính đạt được ở tỷ lệ hoạt hóa NaOH và BC là 7:1, đạt 823,913 m²/g. Những phát hiện này nhấn mạnh sự phù hợp của than hoạt tính tổng hợp từ quy trình mới rất phù hợp cho các ứng dụng làm vật liệu hấp phụ trong môi trường nước hoặc khí, cho thấy tiềm năng cho mục đích khắc phục môi trường.

Từ khóa: than hoạt tính, than sinh học, tro trấu, siêu âm, hấp phụ

¹Khoa Công nghệ hóa học, Trường Đại học Công thương TP.HCM

²Khoa Khoa học và Công nghệ Vật liệu, Trường Đại học Khoa học Tự nhiên

³Đại học Quốc gia, Thành phố Hồ Chí Minh

Liên hệ

Hà Thúc Chí Nhân, Khoa Khoa học và Công nghệ Vật liệu, Trường Đại học Khoa học Tự nhiên

Đại học Quốc gia, Thành phố Hồ Chí Minh
Email: htcnhan@hcmus.edu.vn

Liên hệ

Đặng Tấn Hiệp, Khoa Công nghệ hóa học, Trường Đại học Công thương TP.HCM

Email: hiepdtd@huit.edu.vn

Liên hệ

Võ Thúy Vi, Khoa Công nghệ hóa học, Trường Đại học Công thương TP.HCM

Email: vivt@huit.edu.vn

Lịch sử

- Ngày nhận: 06-5-2024
- Ngày sửa đổi: 18-9-2024
- Ngày chấp nhận: 25-10-2024
- Ngày đăng:

DOI:



1 GIỚI THIỆU

2 Gạo chiếm vị trí quan trọng nhất trong danh sách các
3 loại lương thực ở hầu hết các khu vực ở châu Á, đồng
4 thời đây cũng là nơi sản xuất và tiêu thụ gạo chiếm
5 hơn 90% sản lượng toàn cầu¹. Trong số các quốc gia,
6 Việt Nam đã nổi lên như một trong những nước xuất
7 khẩu gạo hàng đầu thế giới, với tổng sản lượng 5,949
8 triệu tấn vào năm 2012². Trong quá trình sản xuất
9 gạo, trấu thường bị xem như một loại chất thải và
10 thường được xử lý tại các nhà máy điện, tạo ra những
11 vấn đề môi trường đáng kể. Do đó, việc tận dụng vỏ
12 trấu một cách hiệu quả là rất quan trọng. Gần đây,
13 vỏ trấu đã được sử dụng để sản xuất than hoạt tính
14 (AC)³⁻⁶, silica^{7,8}, bê tông⁹ và nhiều ứng dụng khác.
15 Với cấu trúc xốp và diện tích bề mặt lớn, cùng với giá
16 thành thấp, than hoạt tính (AC) đã thu hút sự quan
17 tâm đáng kể và được sử dụng rộng rãi như một chất
18 hỗ trợ xúc tác, chất hấp phụ để hấp phụ các ion kim
19 loại³, phân tử hữu cơ⁵, VOCs¹⁰, hoặc làm vật liệu
20 điện cực cho pin và tụ điện¹¹.
21 Quá trình tổng hợp than hoạt tính thường được thực
22 hiện chủ yếu thông qua hai phương pháp là hoạt hoá
23 vật lý hoặc hóa học. Trong phương pháp hoạt hoá
24 vật lý, nguyên liệu chứa cacbon được đưa vào nhiệt
25 độ cao để kích hoạt cacbon bằng sự tác động của các
26 loại khí như không khí, cacbon dioxit hoặc hơi nước,

nhằm tăng cường tính hoạt tính của cacbon. Trong
khi đó, phương pháp hoạt hóa học thường sử dụng
các hóa chất như natri hydroxit (NaOH), kali hydroxit
(KOH), kẽm clorua (ZnCl₂), hoặc axit photphoric
(H₃PO₄), axit sulfuric (H₂SO₄)... Nhìn chung, các
nghiên cứu này tuy thay đổi chất hoạt hóa nhưng đều
phải cần đến nhiệt độ nung khá cao. Cụ thể, năm
2024, Jhonnaifer J. Romero-Hernandez và các cộng
sự đã nghiên cứu than hoạt tính từ tro trấu bằng cách
hoạt hóa với NaOH ở nhiệt độ 800°C¹², hoặc nhóm
nghiên cứu của Eka Marya Mistar đã hoạt hóa than
hoạt tính bằng KOH với tỷ lệ trọng lượng than
so với KOH là 1:3 trong thời gian hoạt hóa 1 giờ ở
800°C¹³. Năm 2020, nhóm tác giả Adetola E. Ogung-
benro cũng dùng KOH với tỉ lệ từ 3:1 đến 5:1 ở nhiệt
độ từ 600 - 900°C¹⁴. Năm 2016, S.M. Yakout và các
cộng sự đã dùng axit phosphoric (H₃PO₄) để hoạt
hóa than ở nhiệt độ 500°C¹⁵. Năm 2022, nhóm tác
giả Ndifreke Etuk Williams công bố bài đánh giá tổng
hợp về việc sử dụng kali hydroxit (KOH) để sản xuất
và hoạt hóa than hoạt tính, kết quả cho thấy dù khác
nhau về quá trình hoạt hóa, cacbon hóa, nhiệt độ,
thời gian hoạt hóa và tỷ lệ KOH, nhưng các phương
pháp này đều cần nhiệt độ cao để có thể hoạt hóa
được than¹⁶. Điều này cho thấy, việc nghiên cứu một
quy trình hoạt hóa than vẫn đang là đề tài nhận được

Trích dẫn bài báo này: Lưu H T, Tâm D T B, Thoà L M, Nhân H T C, Hiệp D T, Vi V T. **Tổng hợp và đặc tính than hoạt tính từ tro trấu: Ảnh hưởng của tỷ lệ NaOH đến tính chất của than hoạt tính.** *Sci. Tech. Dev. J. - Nat. Sci.* 2025; ():1-10.

Bản quyền

© ĐHQG Tp.HCM. Đây là bài báo công bố mở được phát hành theo các điều khoản của the Creative Commons Attribution 4.0 International license.



53 nhiều sự quan tâm của các nhà khoa học.
 54 Từ những hạn chế của các nghiên cứu trước đó, mục
 55 tiêu của nghiên cứu này là trình bày một phương
 56 pháp mới để hoạt hóa than hoạt tính khác biệt so với
 57 phương pháp truyền thống đó là không cần ủ ở nhiệt
 58 độ cao. Theo đó, tro trấu sẽ được trích ly silica để
 59 tạo thành than sinh học (BC). Tiếp đó, than sinh học
 60 được ngâm tẩm với NaOH với các tỉ lệ khối lượng
 61 khác nhau và được hoạt hóa bằng sóng siêu âm. Sóng
 62 siêu âm sẽ tạo ra hiệu ứng cơ học trong dung dịch, gọi
 63 là cavitation (hiện tượng sủi bọt khí). Khi sóng siêu
 64 âm truyền qua dung dịch, nó tạo ra các bọt khí nhỏ.
 65 Các bọt khí này liên tục mở rộng và co lại, cho đến
 66 khi chúng sụp đổ mạnh mẽ, tạo ra các điểm nóng cục
 67 bộ với nhiệt độ và áp suất cao trong thời gian ngắn.
 68 Những điểm nóng này có tác động cơ học mạnh mẽ
 69 đến các hạt biochar và dung dịch NaOH, giúp phân
 70 tán các hạt biochar, đảm bảo rằng NaOH tiếp xúc đều
 71 với bề mặt của các hạt cacbon, tăng cường quá trình
 72 hoạt hóa, đồng thời tác động cơ học này cũng giúp mở
 73 rộng và phát triển các lỗ xốp trong cấu trúc than, tạo ra
 74 diện tích bề mặt lớn hơn. Bên cạnh đó, NaOH là một
 75 chất kiềm mạnh, NaOH tấn công vào cấu trúc cacbon
 76 của biochar, phá vỡ các liên kết cacbon và loại bỏ các
 77 tạp chất nhẹ hơn như oxit, cacbonat, và các hợp chất
 78 khác. Điều này dẫn đến sự hình thành của các lỗ xốp
 79 trong cấu trúc than, làm tăng diện tích bề mặt và khả
 80 năng hấp phụ của than hoạt tính. Nghiên cứu đã thử
 81 nghiệm ảnh hưởng của hàm lượng NaOH đến diện
 82 tích bề mặt, cấu trúc lỗ xốp, hình thái bề mặt và độ
 83 ổn định nhiệt của mẫu AC. Kết quả cho thấy các mẫu
 84 AC tạo được có tiềm năng ứng dụng làm vật liệu giải
 85 quyết các vấn đề về xử lý ô nhiễm môi trường nước và
 86 không khí.

87 VẬT LIỆU VÀ PHƯƠNG PHÁP

88 Hóa chất

89 Tro trấu (dạng thô, được đốt từ lò hơi công nghiệp
 90 được cung cấp bởi công ty Năng Lượng Nhiệt
 91 Star Tech (TP. Hồ Chí Minh, Việt Nam)), ethanol
 92 C₂H₅OH (³ 99,7%, Việt Nam), NaOH (³ 96%, Trung
 93 Quốc), KOH (³ 85%, Trung Quốc).

**94 Quy trình tạo than sinh học (BC) đã trích ly
 95 silica**

96 Nguyên liệu tro trấu (TT) từ lò hơi công nghiệp được
 97 cung cấp bởi công ty Năng Lượng Nhiệt Star Tech (TP.
 98 Hồ Chí Minh). Tro trấu nguyên liệu được nghiền mịn
 99 và xử lý trích ly trong dung dịch KOH nóng (nhiệt độ
 100 ~ 90°C) để trích ly tách dung dịch kali silicat ra khỏi
 101 than đen. Than đen thu được từ quá trình lọc được
 102 rửa bằng nước đến pH 8 và sấy khô 80°C trong 7 giờ

để tạo thành sản phẩm than sinh học (BC). Quy trình
 được mô tả như Hình 1.

**Quy trình hoạt hóa than sinh học (BC) thành
 than hoạt tính (AC)**

107 Than sinh học (BC) được tẩm ướt với NaOH theo các
 108 tỉ lệ khối lượng m_{NaOH} : m_{BC} khác nhau là 1:1; 3:1; 5:1
 109 và 7:1 lần lượt được ký hiệu là AC1-1, AC3-1, AC5-1
 110 và AC7-1. Siêu âm lần lượt các dung dịch với máy
 111 siêu âm dạng thanh trong 30 phút. Sấy chân không
 112 hỗn hợp ở 100°C trong 24 giờ. Các mẫu sau khi sấy
 113 được rửa với nước cất đến pH 7 và sấy 100°C đến khi
 114 khô hoàn toàn thì thu được than hoạt tính (AC). Quy
 115 trình hoạt hóa than sinh học được mô tả như Hình 2.

Các phương pháp đánh giá vật liệu

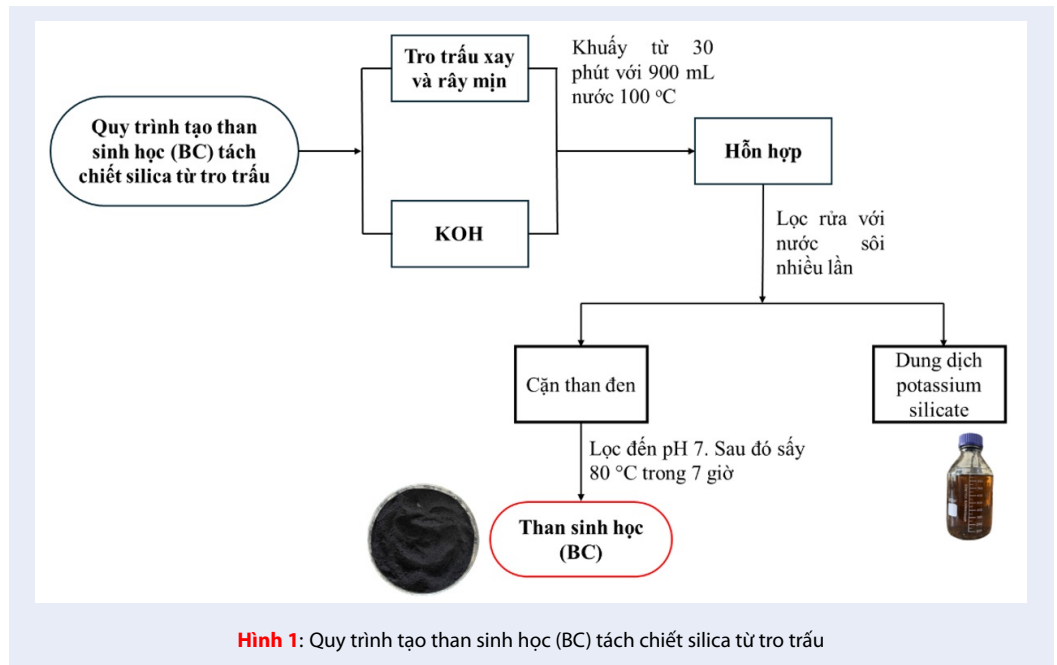
117 Thành phần nguyên tố có trong các mẫu than hoạt
 118 tính và hình thái bề mặt được phân tích bởi máy
 119 thiết bị hiển vi điện tử quét SEM-EDX (Hitachi
 120 S4800). Giảm nhiễu xạ tia X (XRD) của các
 121 mẫu sản phẩm được ghi trên nhiễu xạ kế tia X (D2-
 122 PHASER) với tia Cu-K α (dùng tấm lọc Ni) có bước
 123 sóng $\lambda=1,5406$ Å, điện áp gia tốc 40 kV, cường độ
 124 dòng điện 40 mA, góc quét $2\theta = 5 - 80^\circ$, tốc độ
 125 quét 0,030°/s. Kích thước hạt trung bình được tính
 126 toán dựa vào đỉnh đặc trưng trên giản đồ XRD theo
 127 phương trình Scherrer. Phổ hấp thụ hồng ngoại
 128 (FTIR) được đo từ 4000 - 400 cm⁻¹ trên máy Nico-
 129 let iS 50 (FT-IR, Thermo, USA). Diện tích bề mặt và
 130 kích thước lỗ xốp của than hoạt tính được phân tích
 131 bằng phương pháp Brunauer-Emmett-Teller (BET) và
 132 Barrett-Joyner-Halenda (BJH). Độ bền nhiệt của than
 133 hoạt tính được đánh giá bằng phương pháp phân tích
 134 nhiệt mất trọng lượng (TGA).

KẾT QUẢ VÀ THẢO LUẬN

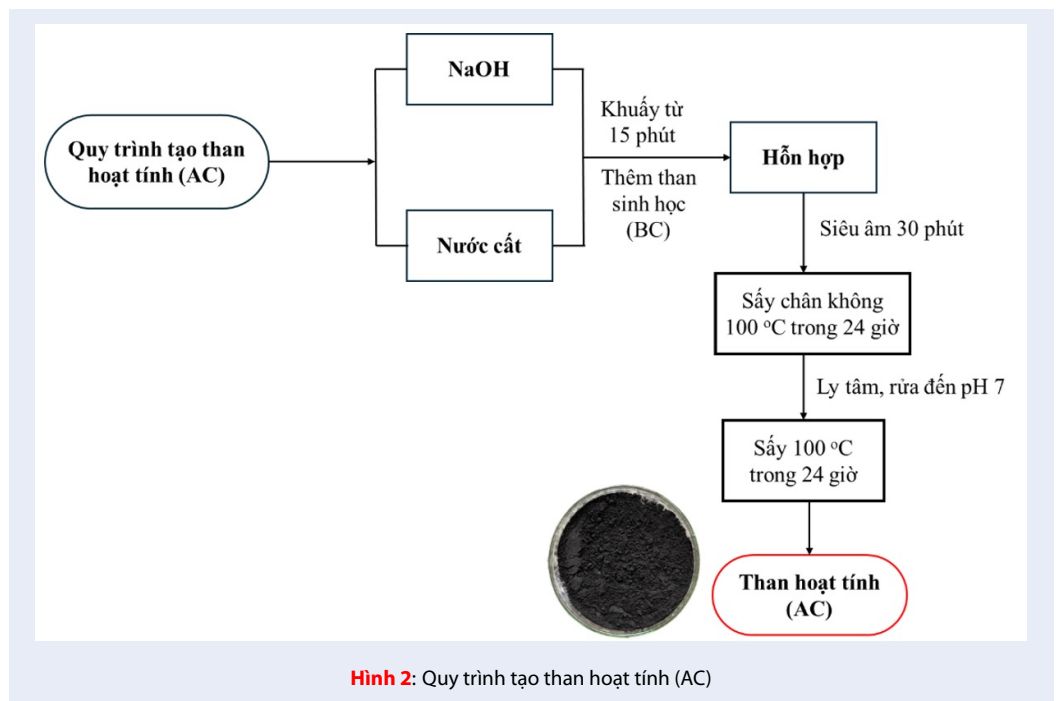
Kết quả SEM và EDX

137 Hình thái bề mặt của tro trấu sau khi nghiền và rây
 138 mịn (TT), than sinh học (BC), và các than hoạt tính
 139 theo các tỉ lệ khối lượng mNaOH:mBC khác nhau
 140 (AC1-1, AC3-1, AC5-1 và AC7-1) được thể hiện ở
 141 Hình 3. Các hạt tro trấu có dạng tấm với kích thước
 142 không đồng đều và có tính xốp nhất định¹⁷ (Hình 3a).
 143 Do tro trấu chứa một lượng lớn silica, việc tách sil-
 144 ica là bước quan trọng trong quá trình sản xuất than
 145 sinh học, giúp cải thiện chất lượng của sản phẩm cuối
 146 cùng. Bên cạnh đó, silica tách ra có thể được tái chế
 147 hoặc sử dụng cho các ứng dụng khác. Kết quả SEM
 148 trong Hình 3b cho thấy bề mặt của BC có độ xốp cao
 149 hơn so với tro trấu.

Đáng chú ý rằng bề mặt của các than hoạt tính phụ
 thuộc vào tỉ lệ hoạt hóa m_{NaOH}:m_{BC} (Hình 3c-f).



Hình 1: Quy trình tạo than sinh học (BC) tách chiết silica từ tro trấu



Hình 2: Quy trình tạo than hoạt tính (AC)

152 Trong khi Hình BC có bề mặt gồ ghề và xốp rõ rệt
 153 (Hình 1b), thì Hình 3c-f lại cho thấy sau khi được
 154 hoạt hóa theo tỉ lệ $m_{NaOH}:m_{BC}$ tăng dần thì bề mặt
 155 của các mẫu than hoạt tính dường như xếp chặt
 156 hơn¹⁸. Sự khác biệt về bề mặt của các mẫu than hoạt
 157 tính (AC) có thể được giải thích bởi cơ chế hoạt hóa
 158 siêu âm trong môi trường NaOH, và ảnh hưởng của
 159 quá trình này lên cấu trúc bề mặt của vật liệu. Trong
 160 quá trình hoạt hóa bằng siêu âm, các sóng siêu âm tạo
 161 ra hiệu ứng cavitation, tức là sự hình thành và sụp đổ
 162 nhanh chóng của các bọt khí trong dung dịch. Quá
 163 trình này sinh ra những vi sóng có năng lượng rất cao
 164 và gây ra các áp lực cơ học mạnh mẽ trên bề mặt của
 165 vật liệu, trong trường hợp này là than sinh học (BC),
 166 gây ra quá trình phá vỡ cấu trúc, loại bỏ các tạp chất
 167 và mở rộng mạng lưới xốp của vật liệu.

168 Tuy nhiên, khi tỉ lệ NaOH tăng lên, hiệu ứng hoạt hóa
 169 cũng mạnh hơn, dẫn đến việc cấu trúc bề mặt bị phá
 170 hủy một cách quá mức. Ở tỉ lệ NaOH thấp (AC1-1),
 171 quá trình siêu âm giúp tạo ra các lỗ xốp và duy trì đặc
 172 điểm bề mặt gồ ghề. Nhưng khi tỉ lệ NaOH tăng cao
 173 hơn (như AC5-1 và AC7-1), áp lực từ các bọt khí và
 174 sự tấn công của NaOH quá mạnh, dẫn đến việc các lỗ
 175 xốp ban đầu bị sụp đổ hoặc bị bào mòn, làm cho bề
 176 mặt dần trở nên phẳng và mịn hơn.

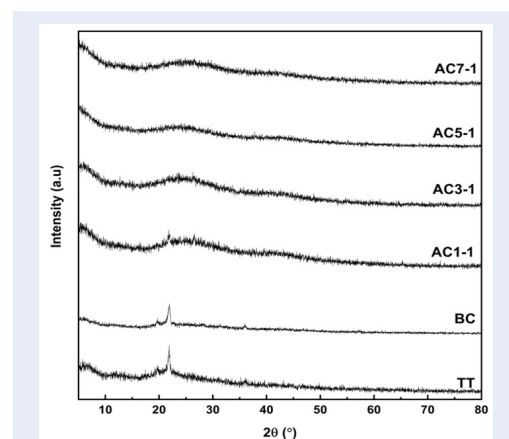
177 Ngoài ra, NaOH đóng vai trò như một chất xúc tác hóa
 178 học, ăn mòn carbon tại các vị trí kém bền vững, và sự
 179 phá hủy cơ học từ quá trình siêu âm làm gia tăng hiệu
 180 ứng này. Khi tỉ lệ NaOH càng cao, mức độ ăn mòn
 181 càng lớn, dẫn đến sự sụp đổ của các cấu trúc xốp nhỏ
 182 và giảm độ gồ ghề của bề mặt.

183 Thành phần các nguyên tố trong các mẫu được xác
 184 định thông qua phương pháp EDX, như minh họa
 185 trong Hình 4. Tro trấu (TT) chứa các nguyên tố C,
 186 O, Si, K, Ca, với hàm lượng cao nhất là nguyên tố Si.
 187 Sau khi trích ly silica để sản xuất than sinh học (BC),
 188 nồng độ Si giảm đáng kể, đồng thời nồng độ nguyên
 189 tố C tăng lên. Khi tỉ lệ hoạt hóa $m_{NaOH}:m_{BC}$ tăng,
 190 cường độ của nguyên tố C trong mẫu than hoạt tính
 191 cũng tăng cao. Silic thường tồn tại dưới dạng silicat
 192 trong than, và phản ứng với NaOH có thể làm giảm
 193 nồng độ của silicat. Hơn nữa, silicat cũng có thể bị
 194 hòa tan trong dung dịch NaOH, làm giảm lượng silicat
 195 trên bề mặt than. Do đó, việc tăng hàm lượng NaOH
 196 trong than hoạt tính có thể ảnh hưởng đến phân bố
 197 của các nguyên tố trên bề mặt của than.

198 Kết quả nhiễu xạ XRD

199 Hình 5 trình bày giản đồ nhiễu xạ tia X của tro trấu,
 200 than sinh học và các than hoạt tính AC1-1, AC3-1,
 201 AC5-1 và AC7-1. Kết quả cho thấy rằng tất cả các
 202 mẫu đều có cấu trúc vô định hình. Ngoài ra, trong các

vùng vô định hình, tro trấu (TT) cũng thể hiện đỉnh
 ở góc $2\theta = 22^\circ$, cho thấy sự hiện diện của cristobalite.
 Cristobalite là một dạng của silica (SiO_2) thường gặp
 trong tro trấu¹⁹. Cường độ của đỉnh này giảm dần
 trong mẫu BC và gần như không quan sát được trong
 các mẫu than hoạt tính bao gồm AC1-1, AC3-1, AC5-
 1 và AC7-1. Kết quả này hoàn toàn phù hợp với phân
 tích EDX trước đó, chứng tỏ khả năng loại bỏ silica
 trong than hoạt tính tăng dần khi tỉ lệ NaOH tăng
 trong quá trình hoạt hóa than sinh học.



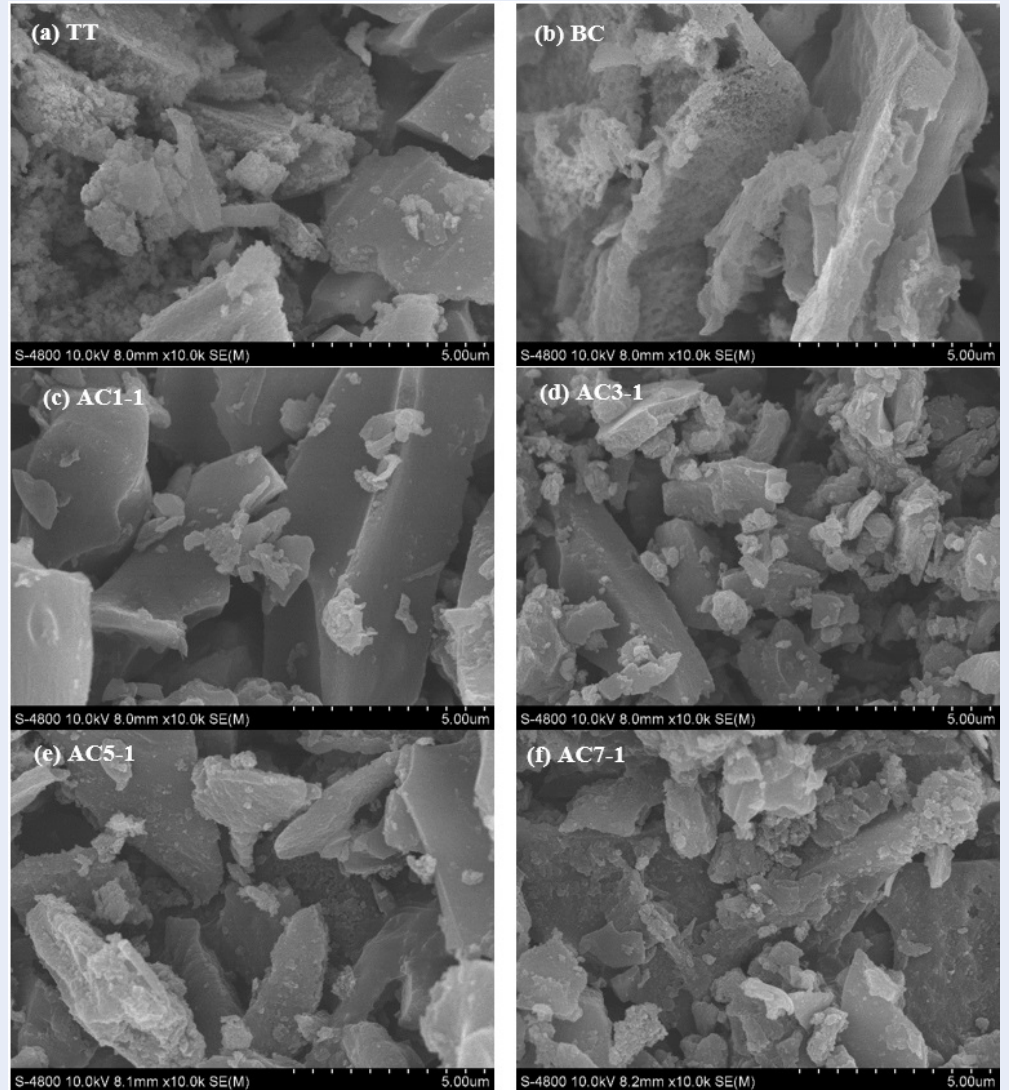
Hình 5: Giản đồ XRD của tro trấu (TT), than sinh học (BC) và các than hoạt tính AC1-1, AC3-1, AC5-1 và AC7-1.

Kết quả FTIR

Các dao động liên kết có trong các mẫu tro trấu (TT),
 than sinh học (BC) và các than hoạt tính AC1-1, AC3-
 1, AC5-1 và AC7-1 được phân tích bằng phổ dao động
 hồng ngoại và được mô tả như Hình 6. Đỉnh phổ nằm
 trong khoảng từ số sóng 1056 đến 1078 cm^{-1} được
 cho là do dao động kéo dài không đối xứng O-Si-O.
 Đỉnh nằm trong khoảng từ 790 đến 800 cm^{-1} được
 cho là do dao động kéo dài đối xứng O-Si-O. Đỉnh
 nằm ở khoảng 440 - 450 cm^{-1} là do dao động uốn Si-
 O^{20,21}. Ba đỉnh này đều thể hiện sự có mặt của silica
 trong tro trấu, và đều có cường độ giảm dần đối với
 than sinh học, và gần như không quan sát được đối
 với các mẫu than hoạt tính. Điều này hoàn toàn phù
 hợp với các phân tích đã đề cập ở trên. Dải rộng nằm
 trong khoảng từ 3000 đến 3700 cm^{-1} được cho là do
 dao động kéo giãn của các phân tử nước. Đỉnh quan
 sát được ở 1635 cm^{-1} là do dao động uốn cong của
 các phân tử nước^{20,21}.

Phân tích TGA

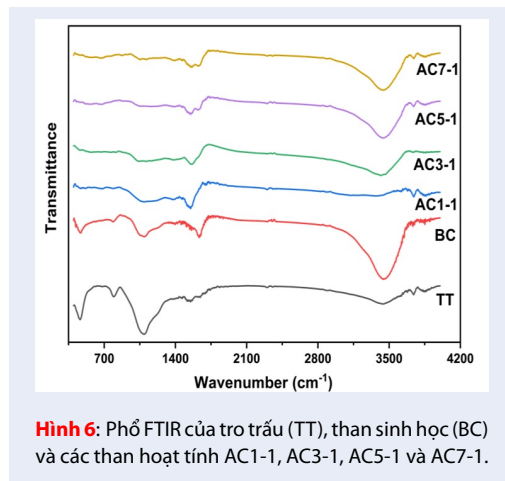
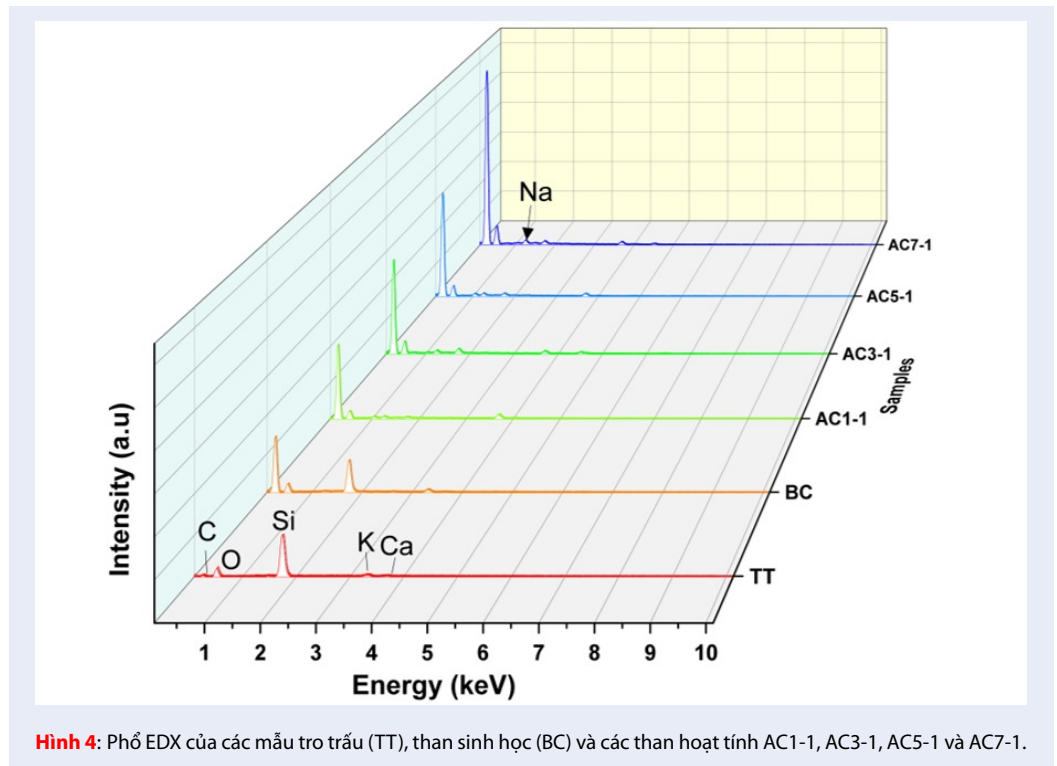
Các phép đo nhiệt trọng lượng (TGA) và phân tích
 nhiệt vi sai (DTA) của tro trấu (TT), than sinh học



Hình 3: Ảnh SEM của các mẫu tro trấu (TT), than sinh học (BC) và các than hoạt tính AC1-1, AC3-1, AC5-1 và AC7-1.

235 (BC) và các than hoạt tính AC1-1, AC3-1, AC5-1 và
 236 AC7-1 đã được biểu diễn trong Hình 7. Kết quả cho
 237 thấy tro trấu có ít sụt giảm khối lượng nhất (10%),
 238 trong khi AC5-1 có sụt giảm khối lượng lớn nhất
 239 (60%). Sự sụt giảm khối lượng trong các mẫu ở các
 240 nhiệt độ khác nhau có thể được phân tích thành bốn
 241 vùng nhiệt, bao gồm vùng từ 0 - 100°C, 100°C -
 242 35°C, 350°C - 650°C và 650°C - 800°C. Sự mất khối
 243 lượng ban đầu ở 100°C liên quan đến sự mất nước
 244 vật lý được hấp phụ trên mẫu và các chất dễ bay hơi
 245 khác^{21,22}. Nhiệt độ mà hiện tượng này xảy ra có thể
 246 được nhận biết trên đồ thị DTA ở 63°C - 100°C khi
 247 tỉ lệ hoạt hóa BC tăng. Sau nhiệt độ này, tro trấu
 248 (TT) gần như không có sự sụt giảm khối lượng. Trong
 249 khoảng từ 100 đến 350°C, khối lượng của các mẫu BC,

AC1-1, AC3-1, AC5-1 và AC5-1 giảm nhẹ ($\leq 5\%$).
 Giai đoạn này liên quan đến sự phân hủy nhiệt của
 hemicellulose và cellulose, thành phần hữu cơ của tro
 trấu. Hemicellulose, thành phần kém ổn định nhất, bị
 phân hủy chủ yếu ở nhiệt độ từ 200 đến 260°C và cel-
 lulose ở nhiệt độ từ 240 đến 360°C²¹. Trong khoảng
 từ 350 đến 650°C, khối lượng của BC, AC1-1, AC3-
 1, AC5-1 và AC7-1 giảm mạnh (lần lượt là 35%, 26%,
 17%, 40% và 15%) do sự phân hủy nhiệt của thành
 phần lignin xảy ra ở nhiệt độ từ 370 đến 600°C²¹.
 Trên 600°C, các mẫu than hoạt tính có thể trải qua
 các phản ứng oxi hóa mạnh mẽ với các chất oxy hóa
 có mặt trong môi trường, như không khí. Các liên
 kết hóa học trong cấu trúc của than có thể bị phá vỡ,
 dẫn đến sự giảm khối lượng. Điều này cho thấy tỉ lệ

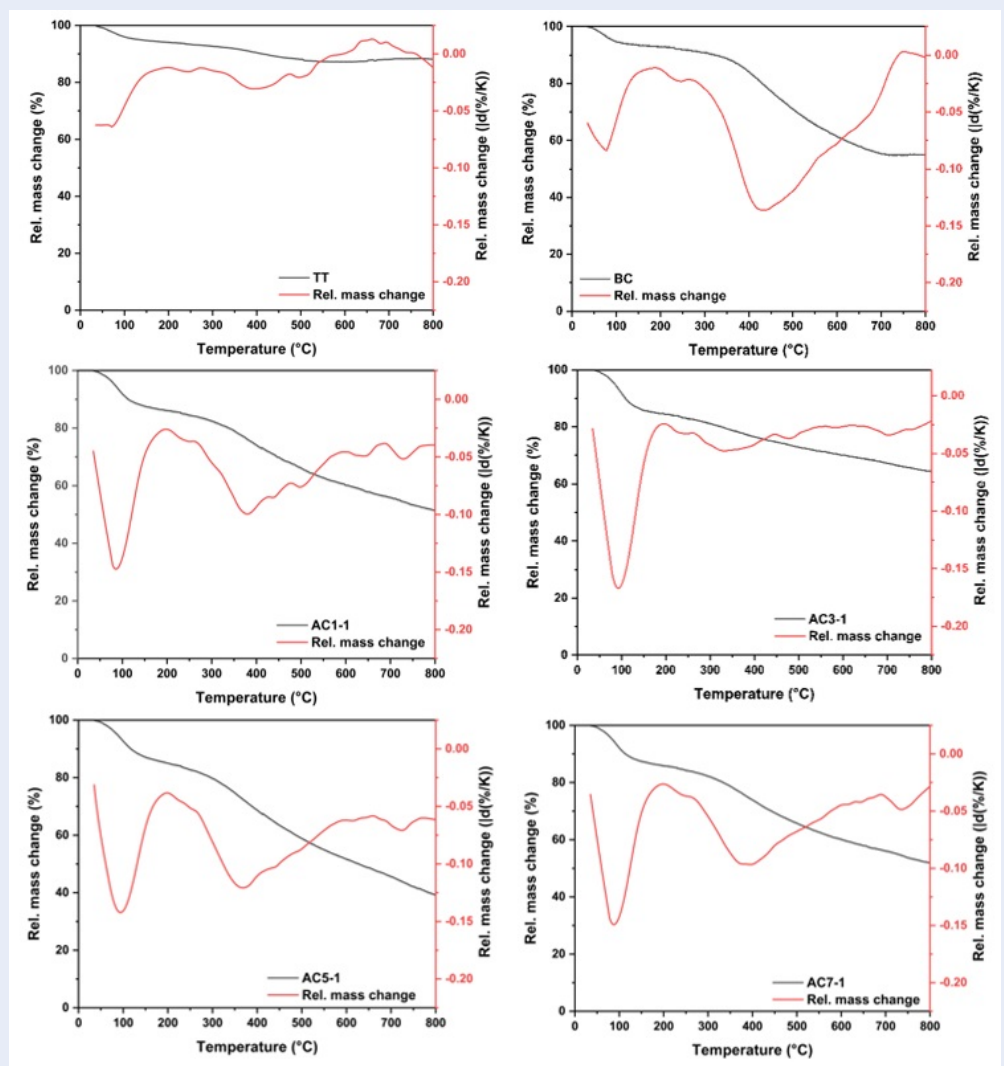


265 NaOH có thể ảnh hưởng đến quá trình hoạt hóa, làm
 266 tăng khả năng hấp thụ chất hữu cơ trên bề mặt than.
 267 Khi hoạt hóa hiệu quả, sự hấp thụ này có thể dẫn đến
 268 sự giảm khối lượng ở các nhiệt độ thấp hơn trong giản
 269 đồ TGA do các chất hữu cơ đã được loại bỏ.

270 **Phân tích BET & BJH**

271 Diện tích bề mặt riêng BET của các mẫu tro trấu (TT),
 272 than sinh học (BC) và các than hoạt tính AC1-1, AC3-
 273 1, AC5-1 và AC7-1 đã được xác định bằng phương

pháp hấp phụ/giải hấp phụ N₂ và được biểu diễn trong 274
 Hình 8. Tất cả các mẫu đều cho thấy đường cong hấp 275
 phụ loại IV theo phân loại IUPAC và các vòng trễ loại 276
 H4, đặc trưng cho các vật liệu chứa vi lỗ xốp và lỗ xốp 277
 trung bình²²⁻²⁴. Dạng của đường cong đẳng nhiệt 278
 phản ánh mối liên hệ chặt chẽ với cấu trúc và hình 279
 dạng của các lỗ xốp. Theo biểu đồ, tro trấu có lượng 280
 hấp phụ thấp, cho thấy mật độ lỗ xốp của tiền chất trấu 281
 là rất ít. Ngược lại, lượng hấp phụ của tro trấu đã tăng 282
 đáng kể sau khi được xử lý bằng KOH để trích ly silica. 283
 Đặc biệt, lượng hấp phụ tiếp tục tăng khi tỉ lệ m_{NaOH}: 284
 m_{BC} tăng trong mẫu có tẩm NaOH. Các thông số đặc 285
 trưng về độ xốp bao gồm diện tích bề mặt (S_{BET}), tổng 286
 thể tích lỗ (V_{total}) và đường kính lỗ xốp của các mẫu 287
 tro trấu (TT), than sinh học (BC) và các than hoạt tính 288
 AC1-1, AC3-1, AC5-1 và AC7-1 đã được biểu diễn 289
 trong Bảng 1. Đặc biệt, diện tích bề mặt của AC7-1 290
 đạt được là 823,913 m²/g, tăng lên gần 5 lần so với 291
 tro trấu, nhờ vào quá trình hoạt hóa bằng NaOH và 292
 kết hợp với siêu âm, tạo điều kiện thuận lợi cho sự 293
 phát triển của lỗ mao quản rỗng/xốp. NaOH có khả 294
 năng tác động và làm phân hủy các thành phần hữu cơ 295
 trong than, tạo ra các lỗ rỗng mới và mở rộng cấu trúc, 296
 loại bỏ chất hữu cơ không mong muốn, và tăng tính 297
 phân tán của hạt^{2,12}. Các lỗ rỗng và cấu trúc mở rộng 298
 này cung cấp nhiều không gian hơn cho các phân tử 299
 khí hoặc chất lỏng hấp phụ, làm tăng diện tích bề mặt 300



Hình 7: Giản đồ TGA và DTA của các mẫu tro trấu (TT), than sinh học (BC) và các than hoạt tính AC1-1, AC3-1, AC5-1 và AC7-1.

301 hiệu quả của than hoạt tính. So sánh với đặc tính của
 302 than hoạt tính từ tro trấu trong các nghiên cứu khác
 303 trên thế giới (Bảng 2) cho thấy rằng than hoạt tính
 304 được hoạt hóa từ quy trình không nung nhiệt trong
 305 nghiên cứu này có đặc tính rất tốt. Những kết quả
 306 này cho thấy quy trình mới trong nghiên cứu này đã
 307 tạo ra sản phẩm than hoạt tính tiềm năng thuận lợi
 308 cho việc nâng cao khả năng xúc tác, hấp phụ các phân
 309 tử nhỏ và cổng kênh như phẩm nhuộm, chất khí và
 310 ngay cả kim loại nặng.

311 KẾT LUẬN

312 Như vậy, nghiên cứu này đã thành công trong việc
 313 thực hiện quy trình tổng hợp và xác định đặc tính
 314 hình thái cấu trúc của than hoạt tính (AC) từ tro trấu

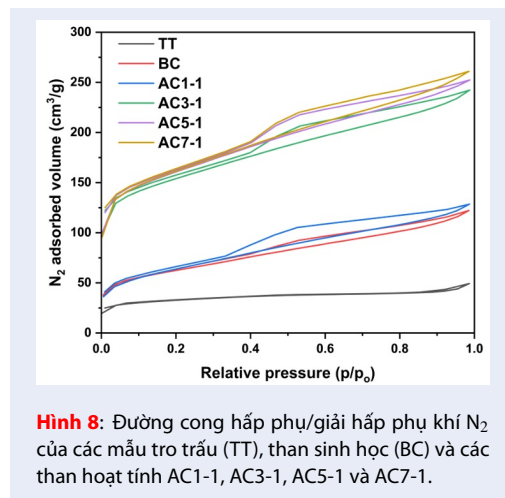
(RHA) thông qua phương pháp hoạt hóa hóa học mà
 không cần nung ở nhiệt độ cao. Bằng cách trích ly
 silica từ RHA để tạo thành than sinh học (BC), sau
 đó hoạt hóa bằng NaOH với máy siêu âm và sấy chân
 không, đã tạo ra than hoạt tính với cấu trúc và tính
 chất đặc trưng như cấu trúc vô định hình, xốp và rộng
 với diện tích bề mặt tối đa đáng kể, đạt 823,913 m²/g
 ở tỷ lệ hoạt hóa NaOH và BC là 7:1. Những kết quả
 này đã làm nổi bật tiềm năng của than hoạt tính trong
 ứng dụng làm vật liệu hấp phụ trong môi trường nước
 hoặc khí, góp phần vào việc giải quyết các vấn đề môi
 trường ngày càng trở nên cấp bách. Đồng thời, nghiên
 cứu này cung cấp một cơ sở vững chắc cho sự phát
 triển và ứng dụng của than hoạt tính từ tro trấu trong
 các ứng dụng bảo vệ môi trường với quy trình đơn

Bảng 1: Diện tích bề mặt và kích thước lỗ xốp của các mẫu tro trấu (TT), than sinh học (BC) và các than hoạt tính AC1-1, AC3-1, AC5-1 và AC7-1.

TT	Tên mẫu	Diện tích bề mặt (S_{BET}) (m^2/g)	Thể tích lỗ xốp (V_{total}) (cc/g)	Đường kính lỗ xốp (Pore Diameter) (Å)
1	Tro trấu	169,367	0,078	9,915
2	BC	289,220	0,190	10,198
3	AC1-1	404,292	0,202	10,218
4	AC3-1	791,914	0,346	10,832
5	AC5-1	817,396	0,383	9,844
6	AC7-1	823,913	0,418	9,792

Bảng 2: So sánh giá trị diện tích bề mặt của than hoạt tính với các công bố trên thế giới

TT	Phương pháp hoạt hóa	Diện tích bề mặt (S_{BET}) (m^2/g)	TLTK
1	Siêu âm với NaOH và sấy chân không $100^\circ C$	823,913	Nghiên cứu này
2	Nung $900^\circ C$ với $ZnCl_2$	645	25
3	than sau quá trình nhiệt phân từ trấu được hoạt hóa bằng hơi nước ở nhiệt độ $800^\circ C$ để tạo ra than hoạt tính	407	26
4	Hoạt hóa với H_3PO_4 và nung $400^\circ C$	615,2	27
5	Hoạt hóa với Na_2CO_3 và nung ở nhiệt độ cao	570	28
6	Hoạt hóa với KOH và nung $600^\circ C$	755	29
7	Trấu được cacbon hóa ở nhiệt độ cố định và được hoạt hóa ở các nhiệt độ khác nhau ($700 - 900^\circ C$) và thời gian lưu (60 - 90 phút)	589.67	30



Hình 8: Đường cong hấp phụ/giải hấp phụ khí N_2 của các mẫu tro trấu (TT), than sinh học (BC) và các than hoạt tính AC1-1, AC3-1, AC5-1 và AC7-1.

330 giản và tiết kiệm năng lượng.

LỜI CẢM ƠN

Nhóm tác giả chân thành cảm ơn sự hỗ trợ về cơ sở vật chất và điều kiện tiến hành thí nghiệm của Phòng thí nghiệm cơ sở Khoa học Vật liệu thuộc Khoa Khoa học và Công nghệ Vật liệu, Trường Đại học Khoa học Tự nhiên, Đại học Quốc gia Thành phố Hồ Chí Minh, và đồng thời xin chân thành cảm ơn sự hỗ trợ tài chính và thiết bị dụng cụ từ Công ty TNHH Thiết Bị Khoa Học LABone, Việt Nam đã tạo điều kiện cho quá trình hoàn thành các kết quả nghiên cứu này.

DANH MỤC CÁC TỪ VIẾT TẮT

- AC (Activated Carbon): Than hoạt tính
- BC (biochar): Than sinh học
- EDX (Energy-dispersive X-ray spectroscopy): Phổ tác sắc năng lượng tia X
- FT-IR (Fourier-transform infrared spectroscopy): Phổ dao động hồng ngoại
- RHA (rice husk ash): Tro trấu
- SEM (A scanning electron microscope): Kính hiển vi điện tử quét

351 TGA (Thermogravimetric analysis): Phân tích nhiệt
 352 trọng lượng
 353 VOCs (Volatile Organic Compounds): các hợp chất
 354 hữu cơ có gốc Carbon rất dễ bay hơi.
 355 XRD (X-Ray diffraction analysis): Nhiễu xạ tia X

356 XUNG ĐỘT LỢI ÍCH

357 Chúng tôi cam kết không có bất kỳ xung đột lợi ích
 358 nào giữa các thành viên trong nhóm nghiên cứu

359 ĐÓNG GÓP CỦA CÁC TÁC GIẢ

- 360 • Huỳnh Thanh Lưu: Thực hiện các quy trình
 361 thực nghiệm, thống kê, tổng hợp số liệu các
 362 phép đo và biên soạn bản thảo.
- 363 • Đào Thị Băng Tâm: Thực hiện các quy trình
 364 thực nghiệm, thống kê, tổng hợp số liệu các
 365 phép đo và biên soạn bản thảo.
- 366 • Lê Mỹ Thoa: Thực hiện các quy trình thực
 367 nghiệm và thực hiện các phương pháp đo.
- 368 • Võ Thúy Vi: Định hướng nghiên cứu
- 369 • Đặng Tấn Hiệp: Định hướng nghiên cứu
- 370 • Hà Thúc Chí Nhân: Định hướng nghiên cứu,
 371 biên soạn và chỉnh sửa bản thảo.

372 TÀI LIỆU THAM KHẢO

373 1. Daljit Singh Karam, Prakash Nagabovanalli, Keeren Sundara
 374 Rajoo, Che Fauziah Ishak, Arifin Abdu, Zamri Rosli, Far-
 375 rah Melissa Muharam, Dzarifah Zulperi. An overview on the
 376 preparation of rice husk biochar, factors affecting its proper-
 377 ties, and its agriculture application”, Journal of the Saudi Soci-
 378 ety of Agricultural Sciences . 2022; 3: 238833809, 149-159;.
 379 2. Van KL, et al. Activated carbon derived from rice husk by NaOH
 380 activation and its application in supercapacitor”, Progress in
 381 Natural Science: Materials International. 2014; 24 (3): 191-
 382 198;.
 383 3. Fabiane Figueiredo Severo, Leandro Souza da Silva, Janielly
 384 Silva Costa Moscôso, Qamar Sarfaraz, Luiz Fernando Ro-
 385 drrigues Júnior, Augusto Ferreira Lopes, Laura Brondani
 386 Marzari, Gustavo Dal Molin (2020), “Chemical and physical
 387 characterization of rice husk biochar and ashes and their iron
 388 adsorption capacity”, SN Applied Sciences 2: 1286;.
 389 4. Sadia Aziz, Bushra Uzair, Muhammad Ishtiaq Ali, Sundas
 390 Anbreen, Fatiha Umer, Muneeba Khalid, Alaa AA. Aljabali,
 391 Yachana Mishra, Vijay Mishra, Angel Serrano-Aroca, Gowhar
 392 A. Naikoo, Mohamed El-Tanani, Shafiqul Haque, Abdulmajeed
 393 G. Almutary, Murtaza M. Tambuwala (2023), “Synthesis and
 394 characterization of nano biochar from rice husk biochar for
 395 the removal of safranin and malachite green from water”, En-
 396 vironmental Research 238: 116909;.
 397 5. Phuong Thu Le, Huyen Thuong Bui, Duy Ngoc Le, Thi Hue
 398 Nguyen, Le Anh Pham, Hong Nam Nguyen, Quoc Son Nguyen,
 399 Thu Phuong Nguyen, Ngoc Trinh Bich, Thi Thuy Duong, Ma-
 400 rine Herrmann, Sylvain Ouillon, and Thi Phuong Quynh Le
 401 (2021), “Preparation and Characterization of Biochar Derived
 402 from Agricultural By-Products for Dye Removal”, Adsorption
 403 Science & Technology 2021: 9161904;.
 404 6. Menya E, et al. Synthesis and evaluation of activated carbon
 405 from rice husks for removal of humic acid from water. Biomass
 406 Conversion and Biorefinery 12: 3229–3248. 2022;.

7. Nayak PP. Synthesis of SiO₂-Nanoparticles from Rice Husk
 Ash and its Comparison with Commercial Amorphous Sil-
 407 ica through Material Characterization. Silicon 13: 1209–1214.
 408 2021;.
 409 8. Phouthavong V, Hagio T, Park JH, Nijpanich S, Srihirunthanon
 410 T, Chantanurak N, et al. Utilization of agricultural waste to her-
 411 bicide removal: Magnetic BEA zeolite adsorbents prepared
 412 by dry-gel conversion using rice husk ash–derived SiO₂ for
 413 paraquat removal. Arab J Chem. 2023;16(8):104959;.
 414 9. Nouredine O, Manssouri I, Sahbi H, Limami H, Khaldoun
 415 A. Rheological and physicochemical investigations on the
 416 destabilization of unfired clay bricks with almond husk addi-
 417 tive by salt. Constr Build Mater. 2023;375:130971;.
 418 10. Yang YJ, Jo HK, Jang MH, Ma X, Jeon Y, Oh K, et al. A brief re-
 419 view of formaldehyde removal through activated carbon ad-
 420 sorption. Appl Sci. 2022;12:5025;.
 421 11. Ruan X, Cui X, Jia G, Wu J, Zhao J, Singh DJ, et al. Intramolec-
 422 ular heterostructured carbon nitride with heptazine-triazine
 423 for enhanced photocatalytic hydrogen evolution. Chem Eng
 424 J. 2022;428:132579;.
 425 12. Romero-Hernandez JJ, Paredes-Laverde M, Silva-Agrejo J,
 426 Mercado DF, Ávila-Torres Y, Torres-Palma RA. Pharmaceutical
 427 adsorption on NaOH-treated rice husk-based activated carb-
 428 ons: Kinetics, thermodynamics, and mechanisms. J Clean
 429 Prod. 2024;434:139935;.
 430 13. Mistar EM, Alfatah T, Supardan MD. Synthesis and charac-
 431 terization of activated carbon from Bambusa vulgaris stri-
 432 ata using two-step KOH activation. J Mater Res Technol.
 433 2020;9(3):6278–6286;.
 434 14. Ogungbenro AE, Quang DV, Al-Ali KA, Vega LF, Abu-Zahr
 435 MR. Synthesis and characterization of activated carbon from
 436 biomass date seeds for carbon dioxide adsorption. J Environ
 437 Chem Eng. 2020;8(5):104257;.
 438 15. Yakout SM, El-Deen GS. Characterization of activated carbon
 439 prepared by phosphoric acid activation of olive stones. Arab J
 440 Chem. 2016;9:51155–51162;.
 441 16. Williams NE, Oba OA, Aydinlik NP. Modification, production,
 442 and methods of KOH-activated carbon. ChemBioEng Rev.
 443 2022;9(2):164–189;.
 444 17. Endale SA, Taffese WZ, Vo DH, Yehualaw MD. Rice husk ash in
 445 concrete. Sustainability. 2023;15(1):255082850;.
 446 18. Heo YJ, Park SJ. Synthesis of activated carbon derived from
 447 rice husks for improving hydrogen storage capacity. J Ind Eng
 448 Chem. 2015;31:330–334;.
 449 19. Parrillo A, Sánchez G, Bologna Alles A. α-Si₃N₄ and Si₂N₂O
 450 whiskers from rice husk and industrial rice husk ash. SN Appl
 451 Sci. 2021;3:268;.
 452 20. Vijayan R, Kumar GS, Karunakaran G, Surumbarkuzhali N,
 453 Prabhu S, Ramesh R. Microwave combustion synthesis of tin
 454 oxide-decorated silica nanostructure using rice husk template
 455 for supercapacitor applications. J Mater Sci Mater Electron.
 456 2020;31:5738–5745;.
 457 21. Pereira MA, de Oliveira JE, Fonseca CS. Influence of the use of
 458 rice husk as source of silica on the sol-gel synthesis of bioglass.
 459 Cerâmica. 2021;67:333–337;.
 460 22. Liu XY, Huang M, Ma HL, Zhang ZQ, Gao JM, Zhu YL, et
 461 al. Preparation of a carbon-based solid acid catalyst by sul-
 462 fonating activated carbon in a chemical reduction process.
 463 Molecules. 2010;15:7188–7196;.
 464 23. Heo YJ, Park SJ. Synthesis of activated carbon derived from
 465 rice husks for improving hydrogen storage capacity. J Ind Eng
 466 Chem. 2015;31:330–334;.
 467 24. Liu Y, Guo Y, Gao W, Wang Z, Ma Y, Wang Z. Simultaneous
 468 preparation of silica and activated carbon from rice husk ash.
 469 J Clean Prod. 2012;32:204–209;.
 470 25. Ahiduzzaman M, Islam AKMS. Preparation of porous bio-char
 471 and activated carbon from rice husk by leaching ash and
 472 chemical activation. SpringerPlus. 2016;5:1248;.
 473 26. Olupot PW, Wakatuntu J, Turyasingura M, Jjagwe J, Menya E,
 474 Okure M. Optimization of heavy metal removal by activated
 475 carbon obtained as a co-product from fast pyrolysis of rice
 476 477

- 478 husks. Results Mater. 2024;21:100545;.
- 479 27. Dada AO, Inyinbor AA, Tokula BE, Bello OS, Pal U. Prepa-
480 ration and characterization of rice husk activated carbon-
481 supported zinc oxide nanocomposite (RHAC-ZnO-NC). He-
482 liyon. 2022;8:10167;.
- 483 28. Liu Y, Guo Y, Zhu Y, An D, Gao W, Wang Z, et al. A sustainable
484 route for the preparation of activated carbon and silica from
485 rice husk ash. J Hazard Mater. 2011;186:1314-1319;.
- 486 29. Nandi R, Jha MK, Guchhait SK, Sutradhar D, Yadav S. Impact of
487 KOH activation on rice husk derived porous activated carbon
488 for carbon capture at flue gas alike temperatures with high
489 CO₂/N₂ selectivity. ACS Omega. 2023;8:4802-4812;.
- 490 30. Yadav BK, Kumar A. Activated carbon from rice husk:
491 Optimization and characterization. Key Eng Mater.
492 2023;960(3):185-195;.

Synthesis, Characterization of Activated Carbon from Rice Husk Ash and Influence of NaOH Ratio on its Properties

Thanh Luu Huynh¹, Bang Tam Thi Dao^{2,3}, My Thoa Le^{2,3}, Chi Nhan Ha-Thuc^{2,3,*}, Tan Hiep Dang^{1,*}, Thuy Vi Vo^{1,*}



Use your smartphone to scan this QR code and download this article

ABSTRACT

This study presents the synthesis and characterization of activated carbon (AC) derived from rice husk ash (RHA) using a chemical activation method that does not require high-temperature heating. RHA, obtained from burning rice husks as a fuel for industrial boilers, was subjected to silica extraction to form biochar (BC). BC is then activated with NaOH using an ultrasound machine and vacuum-dried to form activated carbon (AC). The influence of the mass ratio of NaOH to BC ($m_{NaOH}:m_{BC}$) on the specific properties of the activated carbon was systematically analyzed such as structure, porous morphology, and thermal behavior. The results show that the activated carbon exhibits an amorphous structure with a surface consisting of randomly distributed particles of several micrometers in size. Furthermore, the activated carbon possessed a porous and hollow structure with varying pore sizes. Notably, the maximum surface area of the activated carbon was achieved at a NaOH to BC activation ratio of 7:1, reaching 823,913 m²/g. These findings underscore the suitability of the synthesized activated carbon for applications as adsorbent materials in water or gas, suggesting its potential for environmental remediation purposes.

Key words: activated carbon, biochar, rice husk ash, ultrasound activation, adsorption

¹Faculty of Chemical Technology, Ho Chi Minh City University of Industry and Trade, Vietnam

²Faculty of Materials Science and Technology, University of Science, Ho Chi Minh City, Vietnam

³Vietnam National University, Ho Chi Minh City, Vietnam

Correspondence

Chi Nhan Ha-Thuc, Faculty of Materials Science and Technology, University of Science, Ho Chi Minh City, Vietnam

Vietnam National University, Ho Chi Minh City, Vietnam

Email: htcnhan@hcmus.edu.vn

Correspondence

Tan Hiep Dang, Faculty of Chemical Technology, Ho Chi Minh City University of Industry and Trade, Vietnam

Email: hiepd@huit.edu.vn

Correspondence

Thuy Vi Vo, Faculty of Chemical Technology, Ho Chi Minh City University of Industry and Trade, Vietnam

Email: vivt@huit.edu.vn

Cite this article : Huynh T L, Dao B T T, Le M T, Ha-Thuc C N, Dang T H, Vo T V. **Synthesis, Characterization of Activated Carbon from Rice Husk Ash and Influence of NaOH Ratio on its Properties.** *Sci. Tech. Dev. J. - Nat. Sci.* 2025; (0):1-1.